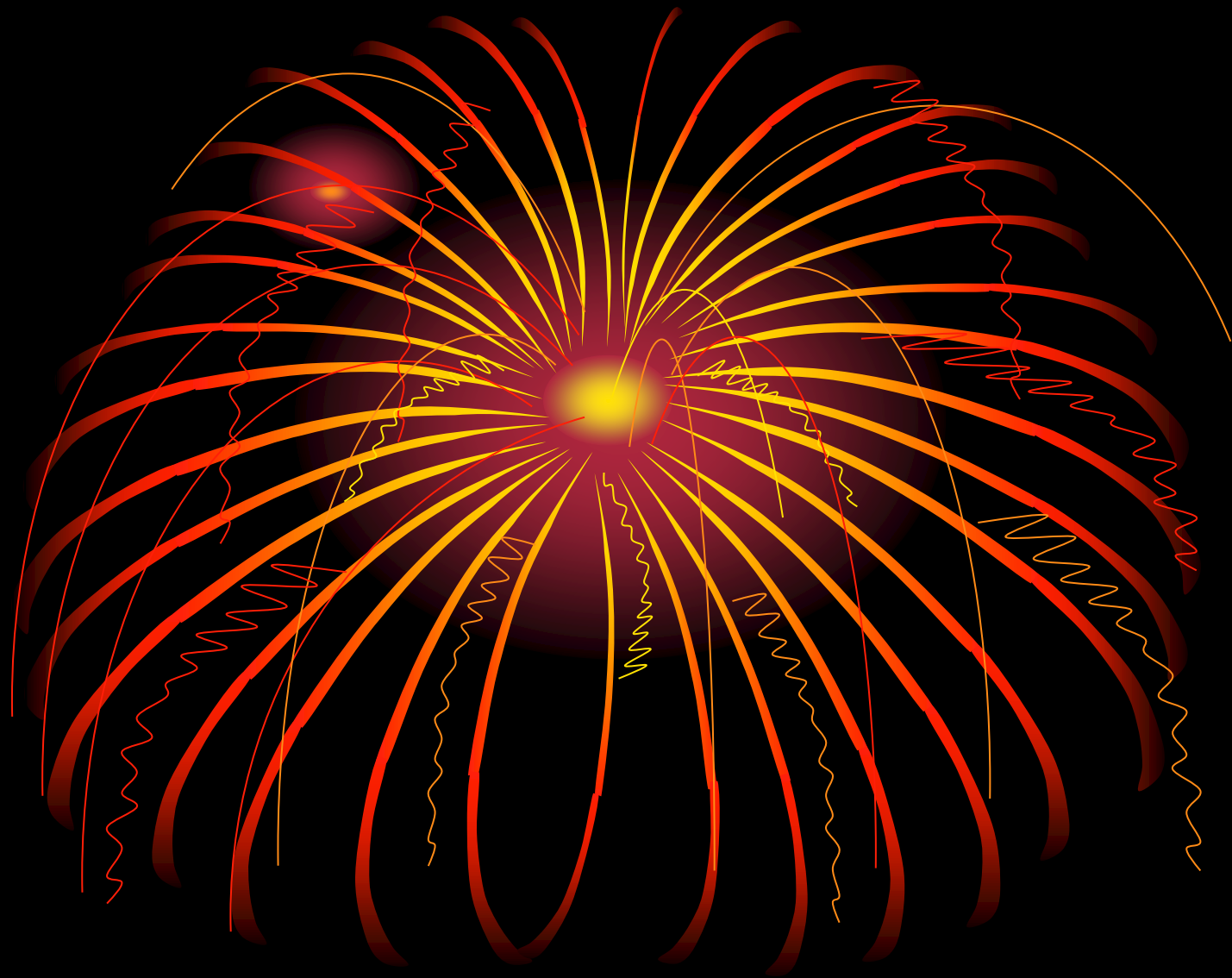


计算机图形学



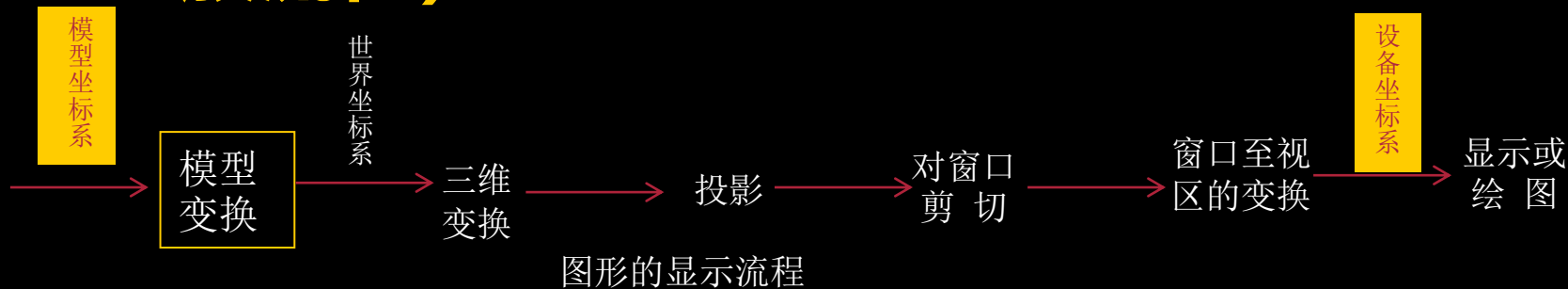
第一章 计算机图形学概述

1、图形的概念 - - 广义图形、计算机图形 概念

计算机图形学是研究如何在计算机环境下描述、交互处理和绘制图形的一门学科。

2、计算机图形学的应用

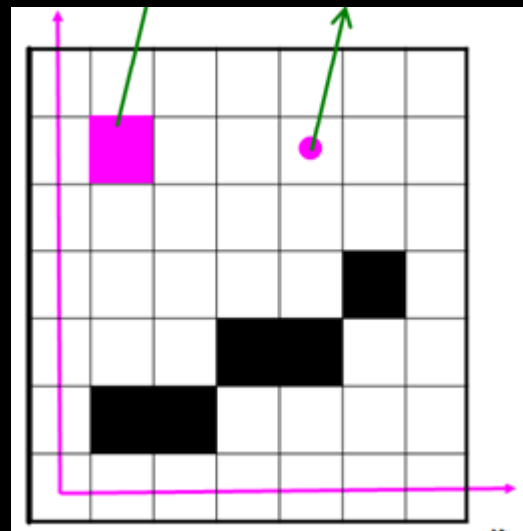
3、计算机图形的生成过程（三维图形显示的一般流程）



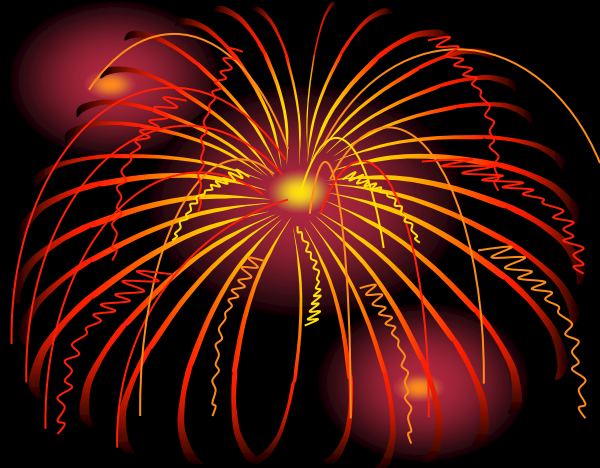
第三章 计算机图形系统及硬件基础



- **1、计算机图形系统的构成及基本功能**
(计算功能/存储功能/输入功能/输出功能/交互功能)
- **2、三种显示器的基本工作原理**
(CRT(随机扫描式、光栅扫描式)、液晶、等离子)
- **3、图形绘制设备、输入设备**



第四章 基本光栅图形算法



- 1、直线生成算法

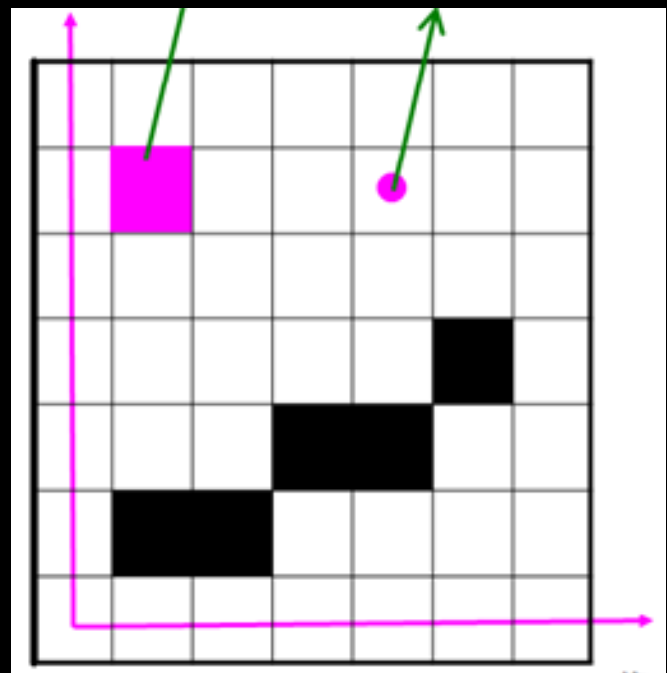
(DDA算法、正负法和Bresenham算法)

- 2、圆弧生成算法

(正负法和Bresenham算法)

- 3、多边形的填充

- 4、区域填充



4.1.1 生成直线的DDA算法

设直线的起点为 (x_s, y_s) , 终点为 (x_e, y_e) , 并设 (x_s, y_s) 和 (x_e, y_e) 都是整数 (做求整处理)。

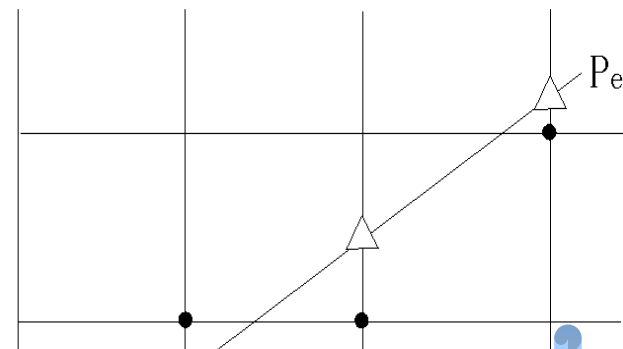
令 $\Delta x = x_e - x_s, \Delta y = y_e - y_s$ 。则直线的参数方程是

$$x = x_s + \Delta x t \quad 0 \leq t \leq 1 \quad (4.1)$$

$$y = y_s + \Delta y t$$

目标是能快速求出能很好地表示直线的像素。

❖ 提高速度的方法之一是: 乘法用加法实现, 用等步长计算直线上的点。



即每一个点坐标都可以由前一个坐标变化一个增量得到。

$$x_{i+1} = x_i + \Delta x \cdot \Delta t$$

$$y_{i+1} = y_i + \Delta y \cdot \Delta t$$

$$\Delta t = t_{i+1} - t_i \quad (4.2)$$

r_s

图4.2 图中黑圆点表示用DDA法生成的直线

正负法算法的具体实现

设直线的起点和终点分别为 (x_s, y_s) 和 (x_e, y_e) , 直线方程为:

$$F(x, y) = ax + by + c = 0$$

$$\frac{x - x_s}{x_e - x_s} = \frac{y - y_s}{y_e - y_s}$$

其中 $a = y_s - y_e$, $b = x_e - x_s$, $c = x_s y_e - y_s x_e$

$F(x, y) = 0$ 、 $F(x, y) > 0$ 和 $F(x, y) < 0$

分别对应于点 (x, y) 在直线上、直线上方和直线下方

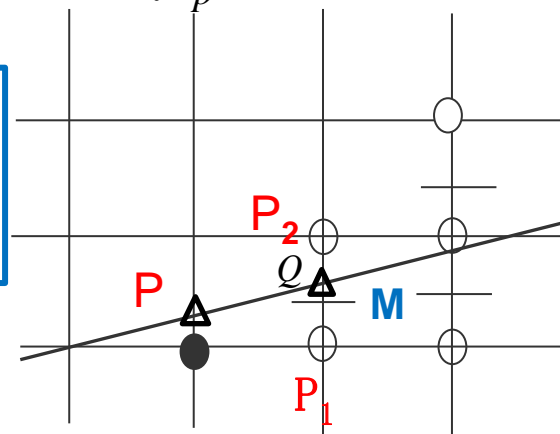
所以, 要判断M在直线的上方还是下方, 只需把M代入, 判断它的符号即可。
构造判别式:

$$d = F(M) = F(x_p + 1, y_p + 0.5) = a(x_p + 1) + b(y_p + 0.5) + c$$

$d < 0$, Q 在 M 上方, 取 P_2 为下一像素

$d > 0$, 取 P_1 为下一像素,

$d = 0$, 可在两个点中任取一个, 约定取右下方的点



4.1.3 Bresenham算法

令 $m = \Delta y / \Delta x$, 考虑 $0 \leq m \leq 1$

$$y = m(x - x_s) + y_s$$

x方向增加1, y方向增加m

$$\text{点斜式方程 } y - y_1 = m(x - x_1)$$

$$\text{所以有, } y_{i+1} = y_i + m(x_{i+1} - x_i) = y_i + m \quad (4.5)$$

由起点 (x_s, y_s) , 可求得直线上的点 (x_i, y_i) , $i=1, 2, 3, \dots$, 其中 $x_1 = x_s, y_1 = y_s$

用像素点 $(x_i, \text{round}(y_i))$ 来表示直线上的点:

$\text{round}(y_i)$ 表示最靠近 y_i 的整数。令 $y_{i,r} = \text{round}(y_i)$, 即用像素点 $(x_i, y_{i,r})$ 来表示直线上的点。

如何快速地求出直线上的点?

设B点是直线上的点, 其坐标为 (x_{i+1}, y_{i+1}) , 则像素点 $(x_{i+1}, y_{i+1,r})$ 只能从C或D点中选。

设A为CD边的中点, 若B在A点上面则应取D点作为 $(x_{i+1}, y_{i+1,r})$, 否则应取C点。

$$\text{令 } \epsilon(x_{i+1}) = y_{i+1} - y_{i,r} - 0.5$$

$\epsilon(x_{i+1})$ 用来判断取C或D

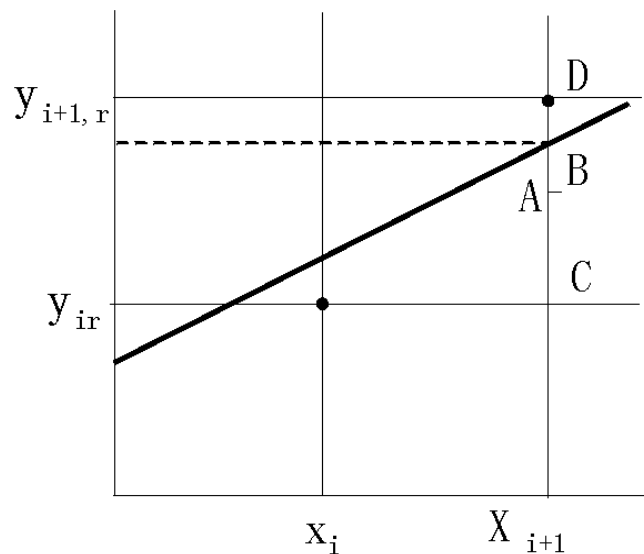


图4.4 $\epsilon(x)$ 的几何意义

4. 2圆弧生成算法

本节仅考虑圆心在 origin 的情况

- ◆ 正负法
- ◆ Bresenham法
- ◆ 多边形逼近法

4. 2. 1 正负法

设圆的圆心在 $(0,0)$,半径为 R ,则圆的方程为

$$F(x,y)=x^2+y^2-R^2=0$$

- ❖ 当点 (x,y) 在圆内时, $F(x,y)<0$, 向圆外走一步。
- ❖ 当点 (x,y) 在圆外时, $F(x,y)>0$, 向圆内走一步。

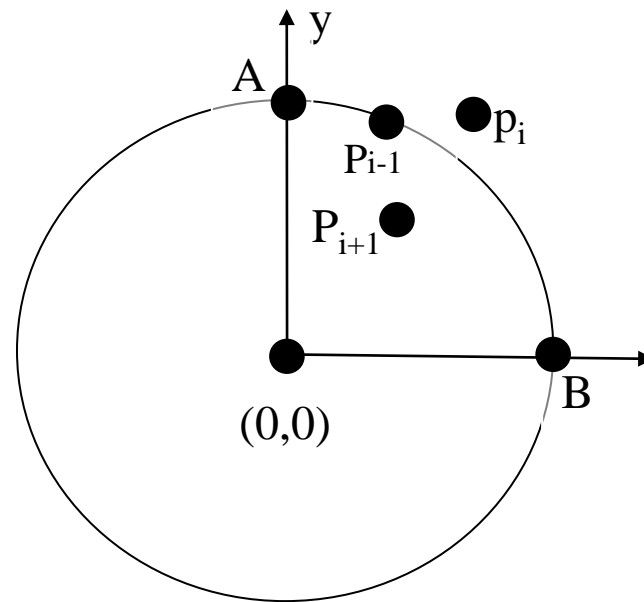


图4.8 对弧AB上点的取法

4.2.2 Bresenham 生成圆弧的算法

假设圆心 $(0,0)$ 为原点

考虑AB弧的画法，显示一个整圆时，
只要在显示AB上任一点 (x,y) 时，同时
显示在圆周上其它七个对称点

$(y,x), (y,-x), (x,-y), (-x,-y), (-y,-x), (-y,x), (-x,y)$

从A点开始寻找弧AB上要用的点

设 P_{i-1} 是已选中的一个表示圆弧上的点，
下一个点应从 H_i 或 L_i 中选择。

设 H_i 和 L_i 两点的坐标分别为 (x_{hi}, y_{hi}) 和
 (x_{li}, y_{li}) **考虑应选哪一个**

基本思路：通过比较临近像素点到圆弧的距离，设法求出该距离的递推关系，并通过符号判别像素取舍。

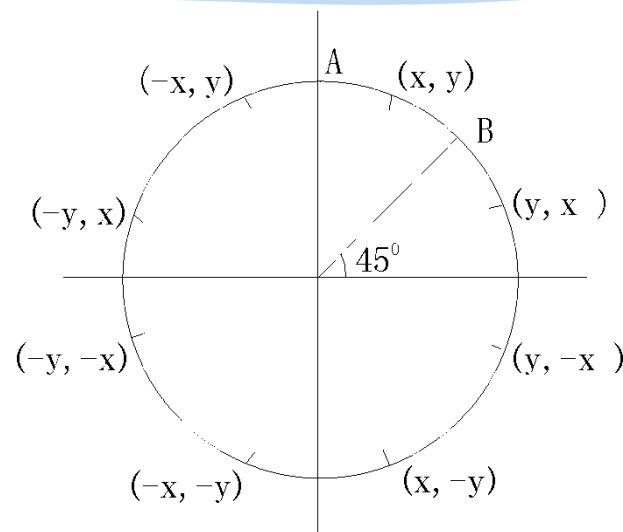


图4.9 七个对称点

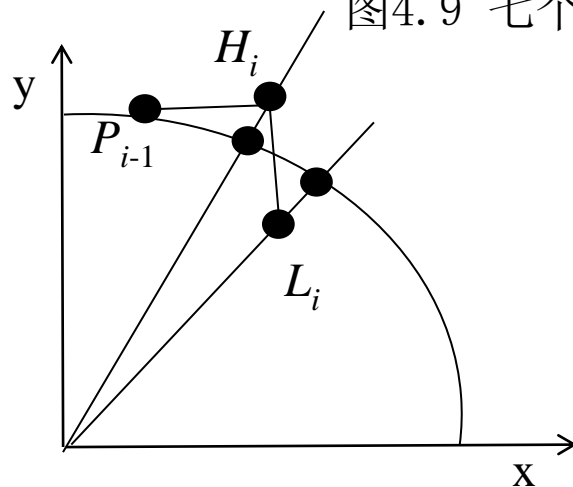
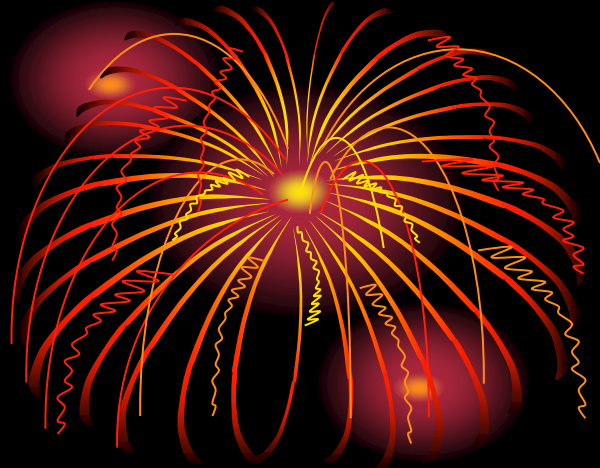


图4.10 两个候选点

第四章 基本光栅图形算法



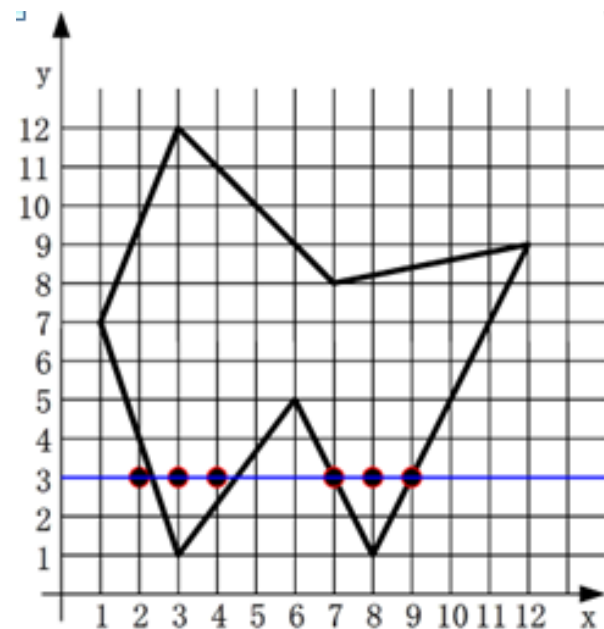
- 1、直线生成算法
- 2、圆弧生成算法
- 3、多边形的填充
 - 3.1 多边形的两种表示方法（顶点表示/点阵表示）
 - 3.2 多边形填充的扫描线算法（基本思想、性质、奇异点的处理、数据结构和实现步骤）
- 4、区域填充

区域的概念及两种表示方法(内点表示/边界表示)

4. 3. 2 多边形填充的扫描线算法

从该例可以看出，算法的核心是需要按**X递增**顺序排列交点的X坐标序列，由此可得扫描线算法步骤：

- ❖ 1. 确定多边形所占有的最大扫描线数，得到多边形顶点的最小和最大值 (Y_{min} 和 Y_{max})
- ❖ 2. 从 Y_{min} 到 Y_{max} ，每次用一条扫描线进行填充
- ❖ 3. 对一条扫描线的填充过程可分为：
 - a. **求交**：计算扫描线与多边形各边的交点；
 - b. **排序**：把所有交点按X值递增顺序排序。
 - c. **交点配对**：12、34等，每对就代表扫描线与多边形的一个相交区间
 - d. **区域填色**：把这些相交区间内的像素置成不同于背景色的填充色。



5. 扫描线算法的数据结构与实现步骤

该数据结构由边y筒ET和边的活化链表AEL(Active Edge List)两部分组成。

ET和AEL中的多边形的边由四个域组成:

- y_{\max} 边的上端点的 y 坐标;
- x 在ET中为边的下端点的 x 坐标, 在AEL中是边与扫描线交点的 x 坐标
- Δx 边的斜率的倒数, 即 $\frac{1}{m_i}$
- $next$ 指向下一条边的指针。

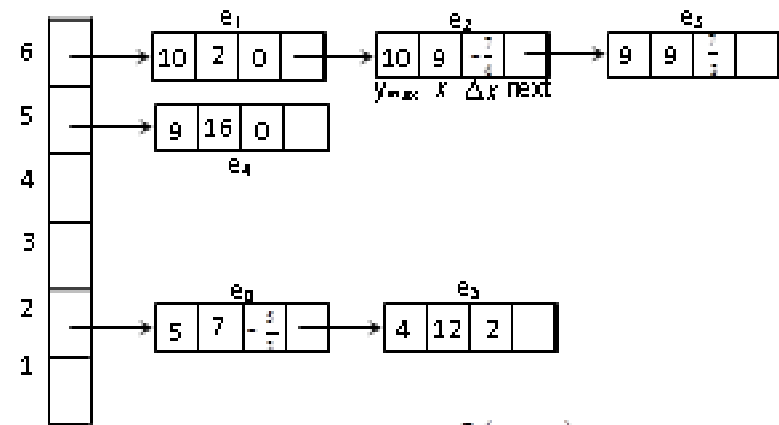
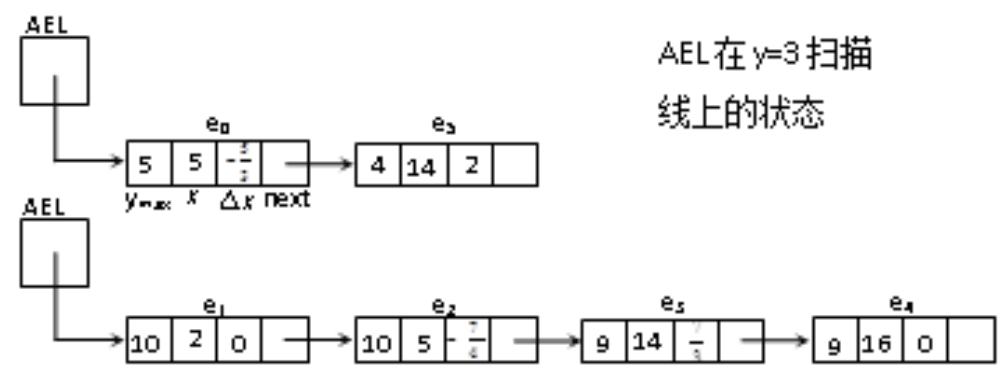


图 4.19 边y筒 $Q(x_i, y_i)$



AEL在 $y=3$ 扫描线上的状态

AEL在 $y=8$ 扫描线上的状态

图 4.20 边的活化链表

边y筒ET数据结构

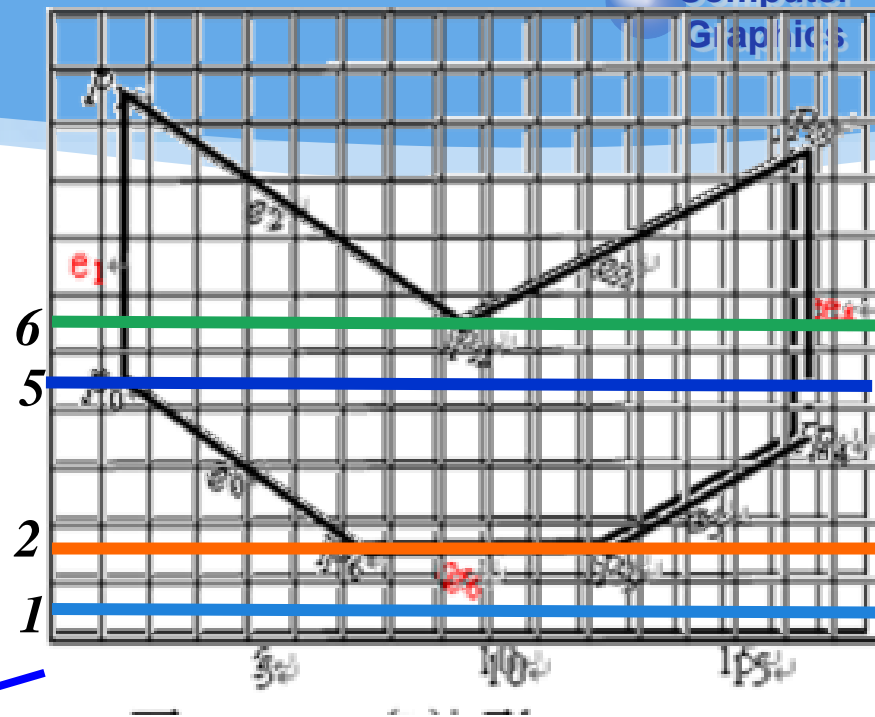
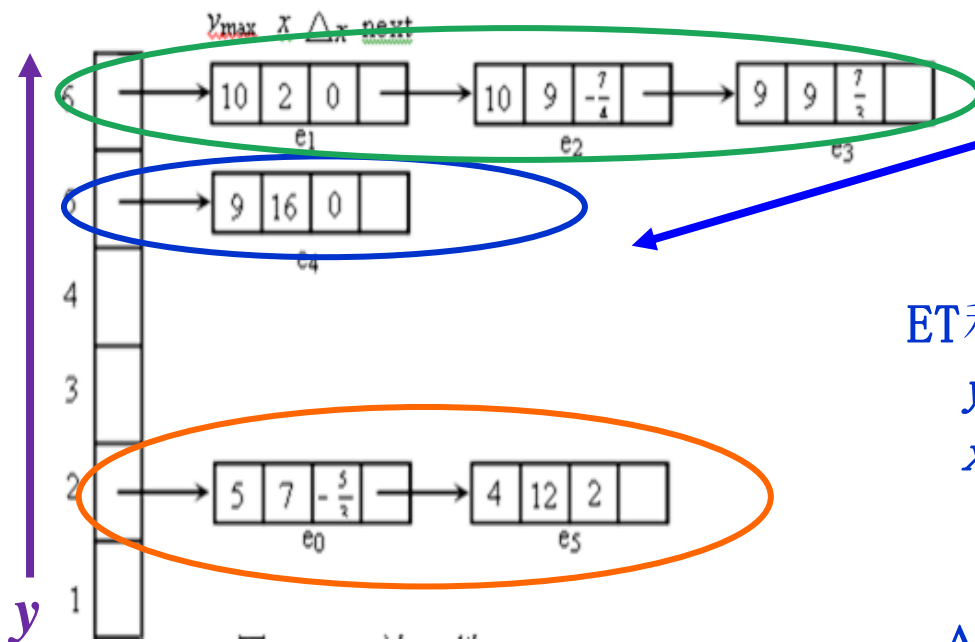
边的y筒ET是按边下端点的纵坐标 y 对非水平边进行分类的指针数组，数组的长度等于扫描线的总数。下端点的纵坐标 $y=i$ 的边归入第 i 类。

同一类中，各边按 x 值递增的顺序排列成行。

对于右图中的多边形：

$[P_0 P_1 P_2 P_3 P_4 P_5 P_6] =$

$[(2,5) (2,10) (9,6) (16,11) (16,4) (12,2) (7,2)]$



ET和AEL中的多边形的边由四个域组成：

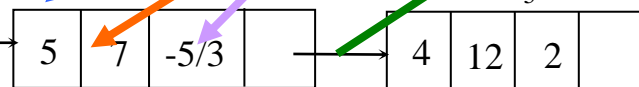
- y_{max} 边的上端点的 y 坐标；
- x 在ET中为边的下端点的 x 坐标，在AEL中是边与扫描线交点的 x 坐标
- Δx 边的斜率的倒数
- $next$ 指向下一条边的指针。

边的活化链表AEL数据结构

边的活化链表AEL由与当前扫描线相交的所有多边形的边组成，它记录了多边形边沿扫描线的交点序列，并根据递推关系式不断地更新交点序列

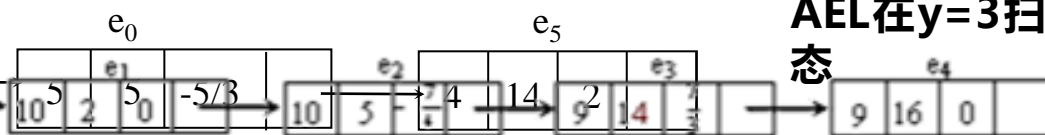
$$x_{er} = x_{dr} + 1/m_r$$

边的活化链表



AEL 扫描线 $y=2$

边列表按 x 的增加排序



AEL在 $y=3$ 扫描线上的状态

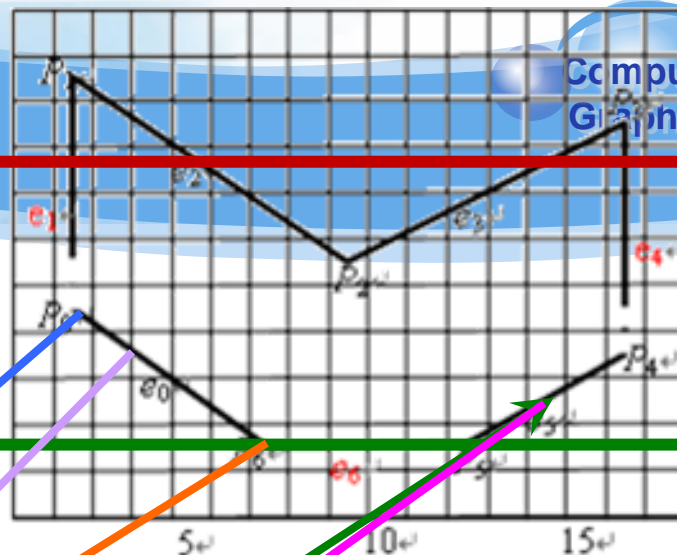
AEL在 $y=8$ 扫描线上的状态

8

2

X

1/m

 y_{max} e_0 e_5 e_0 e_2 e_3 e_4 

扫描线算法的步骤:

- **步骤1:(AEL初始化)**将活化链表**AEL**设置为空。
- **步骤2:(y初始化)**取扫描线**纵坐标y**的初始值为**ET**中非空元素的最**小序号**,在图4. 19中 $y=2$ 。
- **步骤3:**按**从下到上的顺序**对纵坐标值为y的扫描线(当前扫描线)执行**下列步骤**,直到边的活化链表**AEL**都**变成空**为止。

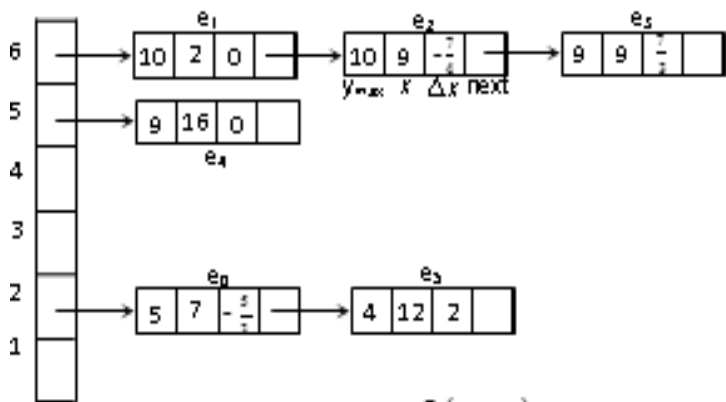
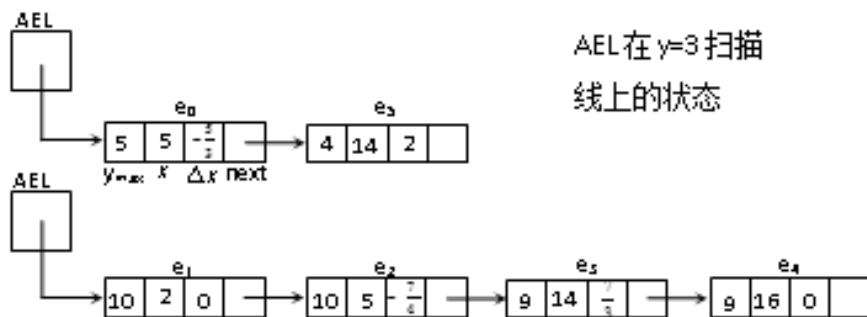


图 4.19 边 y 简 $Q(x, y)$



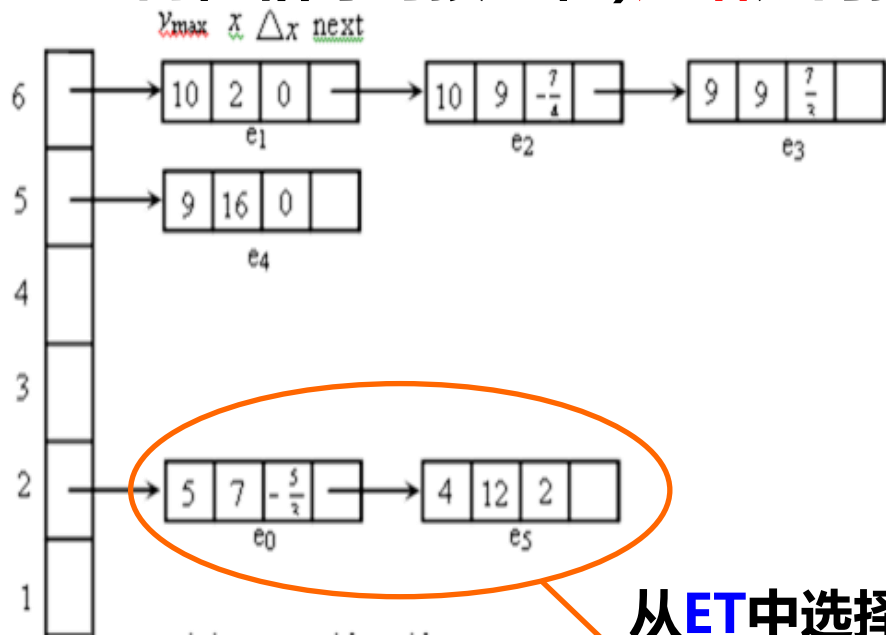
AEL在 $y=3$ 扫描线上的状态

AEL在 $y=8$ 扫描线上的状态

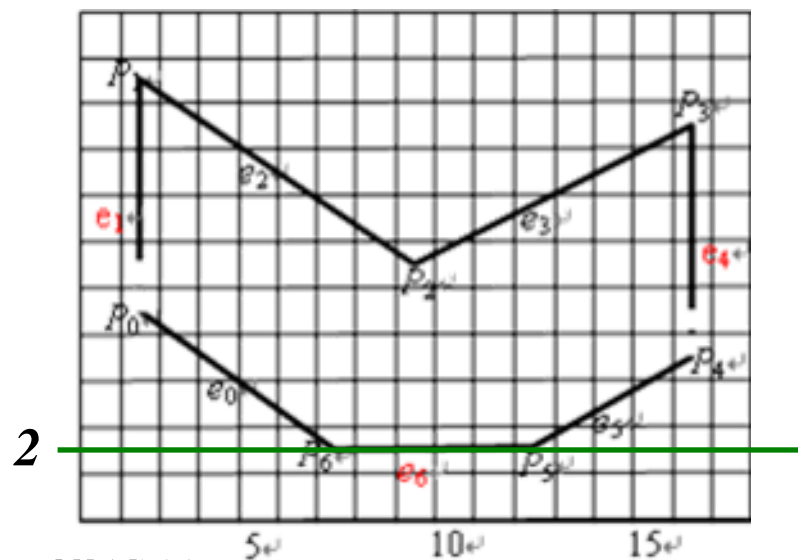
图 4.20 边的活化链表

扫描线算法的具体步骤:

- ❖ ①如边ET中的第 y 类元素非空, 则将属于该类的**所有边从ET中取出并插入活化链表AEL中**, AEL中的各边按照 x 值(当 x 的值相等时按 Δx 值)递增方向排序。



从ET中选择当前扫描线的边表,方便活化链表的建立和更新

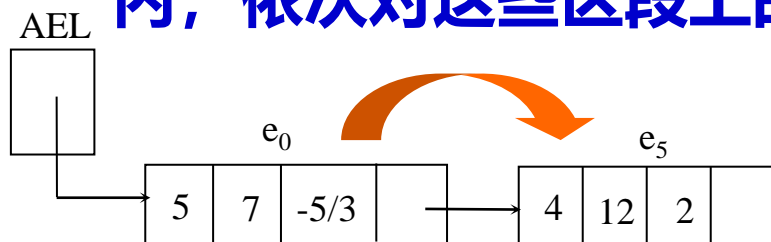


AEL在 $y=2$ 扫描线上的状态

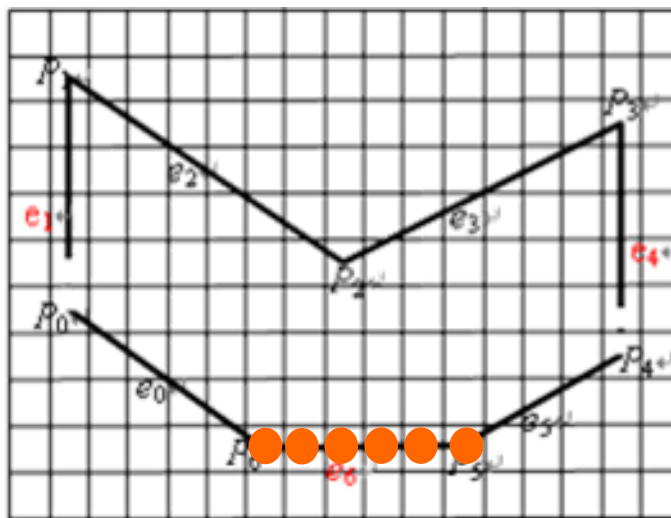
扫描线算法的具体步骤:

- ❖ ②若相对于当前扫描线，其活化链表AEL非空，则将AEL中的边两两依次配对，即第1, 2边为一对，第3, 4边为一对，依此类推。

每一对边与当前扫描线的交点所构成的区段位于多边形内，依次对这些区段上的点(像素)按多边形属性着色。

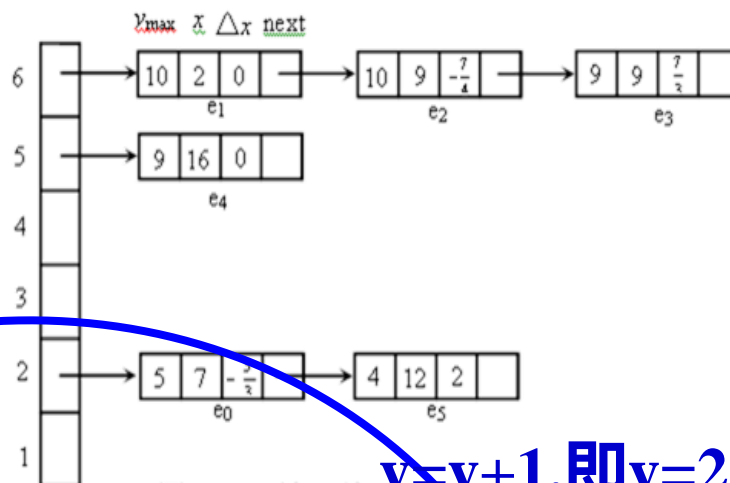
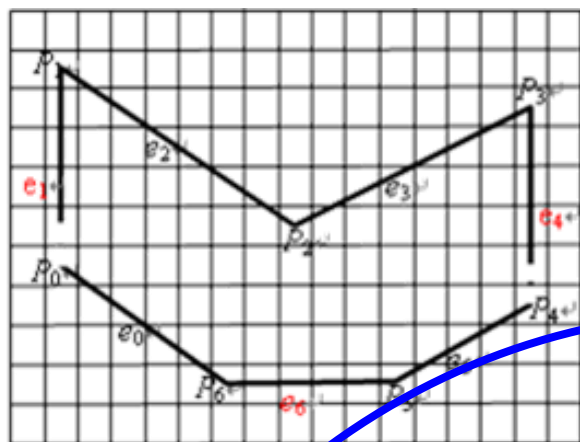


AEL在 $y=2$ 扫描线上的状态



扫描线算法的具体步骤:

- ❖ ③将活化链表AEL中满足 $y=y_{\max}$ 的边删去。
(表明一条边已经结束)
- ❖ ④将边ET剩下的每一条边的 x 域累加 Δx , 即 $x=x+\Delta x$ 。
(求得下一条扫描线与边的交点 x , 利用了边的连续性)
- ❖ ⑤将当前的扫描线的纵坐标值 y 累加, 即 $y=y+1$
(求下一条扫描线)



AEL在 $y=2$ 扫描线上的状态

$y=y+1$, 即 $y=2+1=3$

AEL在 $y=3$ 扫描线上的状态

e_0 : $m=-5/3$, 所以 x 变为 $7-5/3=5$

e_5 : $m=2$, 所以 x 变为 $12+2=14$

第四章 基本光栅图形算法



- 1、直线生成算法
- 2、圆弧生成算法
- 3、多边形的填充

3.1 多边形的两种表示方法（顶点表示/点阵表示）

3.2 多边形填充的扫描线算法（基本思想、性质、奇异点的处理、数据结构和实现步骤）

3.3 边缘填充算法

3.4 边界标志算法

- 4、区域填充

区域的概念及两种表示方法(内点表示/边界表示)、
简单种子填充算法、扫描线种子填充算法



第五章 变换和裁剪

- **1、几何变换**

平移变换、放大缩小变换、旋转变换及其实现函数，齐次坐标的概念；

- **2、裁剪**

2.1 Sutherland-Cohen算法(基本思想及算法的具体实现)

2.2 Cyrus-Beck算法及梁-Barsky算法(基本思想及算法的具体实现)

5.5 推导以直线 $ax+by+c=0$ 为对称轴的二维对称变换矩阵

直线变为 $y=(-a/b)x+(-c/b)$ ，即直线的斜率为 $-a/b$ ，直线的截距为 $-c/b$ ，整个变换过程可分以下几个步骤完成：

- ❖ a) 沿y轴，平移直线使之通过原点，平移量为 c/b ，变换矩阵：
- ❖ b) 绕Z轴旋转 $-\theta$ ($\theta=\arctg(-a/b)$)，使直线与x轴重合，变换矩阵：
- ❖ c) 做关于x轴的对称变换，变换矩阵：
- ❖ d) 绕Z轴回旋 θ ，变换矩阵：
- ❖ e) 沿y轴，平移直线，平移量为 $-c/b$ ，变换矩阵：

$$\begin{bmatrix} x' \\ y' \\ 1 \end{bmatrix} = \begin{bmatrix} 1 & 0 & 0 \\ 0 & 1 & \frac{c}{b} \\ 0 & 0 & 1 \end{bmatrix} \begin{bmatrix} x \\ y \\ 1 \end{bmatrix} \quad \begin{bmatrix} x' \\ y' \\ 1 \end{bmatrix} = \begin{bmatrix} \cos \alpha & -\sin \alpha & 0 \\ \sin \alpha & \cos \alpha & 0 \\ 0 & 0 & 1 \end{bmatrix} \begin{bmatrix} x \\ y \\ 1 \end{bmatrix} \quad \begin{bmatrix} x' \\ y' \\ 1 \end{bmatrix} = \begin{bmatrix} 1 & 0 & 0 \\ 0 & -1 & 0 \\ 0 & 0 & 1 \end{bmatrix} \begin{bmatrix} x \\ y \\ 1 \end{bmatrix}$$

$$\begin{bmatrix} x' \\ y' \\ 1 \end{bmatrix} = \begin{bmatrix} \cos \alpha & \sin \alpha & 0 \\ -\sin \alpha & \cos \alpha & 0 \\ 0 & 0 & 1 \end{bmatrix} \begin{bmatrix} x \\ y \\ 1 \end{bmatrix} \quad \begin{bmatrix} x' \\ y' \\ 1 \end{bmatrix} = \begin{bmatrix} 1 & 0 & 0 \\ 0 & 1 & -\frac{c}{b} \\ 0 & 0 & 1 \end{bmatrix} \begin{bmatrix} x \\ y \\ 1 \end{bmatrix} \quad \begin{bmatrix} \frac{b^2 - a^2}{a^2 + b^2} & \frac{-2ab}{a^2 + b^2} & \frac{-2ac}{a^2 + b^2} \\ \frac{-2ab}{a^2 + b^2} & \frac{a^2 - b^2}{a^2 + b^2} & \frac{-2bc}{a^2 + b^2} \\ 0 & 0 & 1 \end{bmatrix}$$



第五章 变换和裁剪

- **1、几何变换**

平移变换、放大缩小变换、旋转变换及其实现函数，齐次坐标的概念；

- **2、裁剪**

2.1 Sutherland-Cohen算法(基本思想及算法的具体实现)

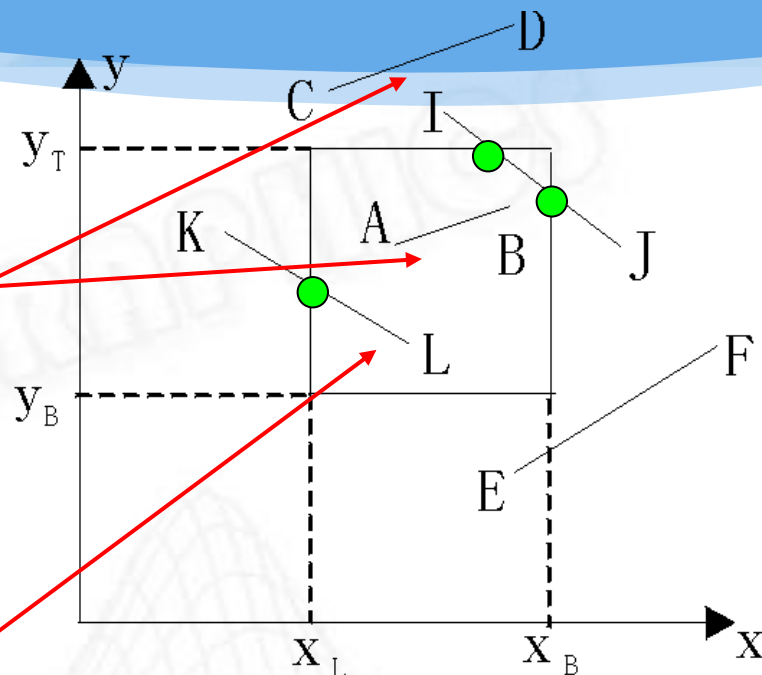
2.2 Cyrus-Beck算法及梁-Barsky算法(基本思想及算法的具体实现)

5.3.1 Sutherland-Cohen算法

Sutherland-Cohen算法分成两部分：

第一步，判定：

- 1) 完全在窗口内的直线段，称为**完全可见的线段**；
- 2) 完全在窗口外的线段，称为**完全不可见线段**。



第二步，处理不能断定为完全可见或完全不可见的线段。

*这时需要计算出直线段和窗口边界的一个交点，这个交点把直线分成两段，其中一条为完全不可见的线段，被抛弃；对余下部分再作第一步的判断。

*重复上述过程，直到直线段余下的部分可用**第一步**的判断得出肯定的结论为止。

$$P(t) = (P_2 - P_1)t + P_1 \quad (0 \leq t \leq 1) \quad (5.17)$$

5.3.2 梁友栋-Barsky算法

当凸多边形是矩形窗口，且矩形的边平行于坐标轴时，Cyrus-Beck算法可简化为梁友栋-Barsky算法。

表5.1 梁友栋-Barsky算法所用的量

对于窗口的每条边，表5.1列出了其内法向量 N_i ，该边上一点 A_i ，从 A_i 指向线段起点 P_1 的向量 $P_1 - A_i$ ，以及线段与该边（或延长线）的交点参数。

由于每个法向量只有一个非零分量，所以：

任意一个向量与法向量求内积，相当于给出该向量的相应分量。

| 边 | 内法向量 N_i | 边上一点 A_i | $P_1 - A_i$ | $t = -\frac{N \cdot (P_1 - A)}{N \cdot (P_2 - P_1)}$ |
|--------------|------------|----------------|----------------------------|--|
| 左边 $x=XL$ | (1, 0) | (XL , y) | ($x_1 - XL$, $y_1 - y$) | $\frac{(x_1 - XL)}{-(x_2 - x_1)}$ |
| 右边 $x=XR$ | (-1, 0) | (XR , y) | ($x_1 - XR$, $y_1 - y$) | $\frac{-(x_1 - XR)}{x_2 - x_1}$ |
| 下边 $y=YB$ | (0, 1) | (x , YB) | ($x_1 - x$, $y_1 - YB$) | $\frac{(y_1 - YB)}{-(y_2 - y_1)}$ |
| 上边 $y=YT$ | (0, -1) | (x , YT) | ($x_1 - x$, $y_1 - YT$) | $\frac{-(y_1 - YT)}{y_2 - y_1}$ |

Liang, Y.D., and Barsky, B., "A New Concept and Method for Line Clipping", **ACM Transactions on Graphics**, 3(1):1-22, January 1984

5.3.2 梁友栋-Barsky算法

设 $\Delta x = x_2 - x_1$, $\Delta y = y_2 - y_1$, 令

$$\begin{cases} r_L = -\Delta x, & s_L = x_1 - x_L, \\ r_R = \Delta x, & s_R = x_R - x_1, \\ r_B = -\Delta y, & s_B = y_1 - y_B, \\ r_T = \Delta y, & s_T = y_T - y_1, \end{cases}$$

由表5.1可得交点的参数 t_k

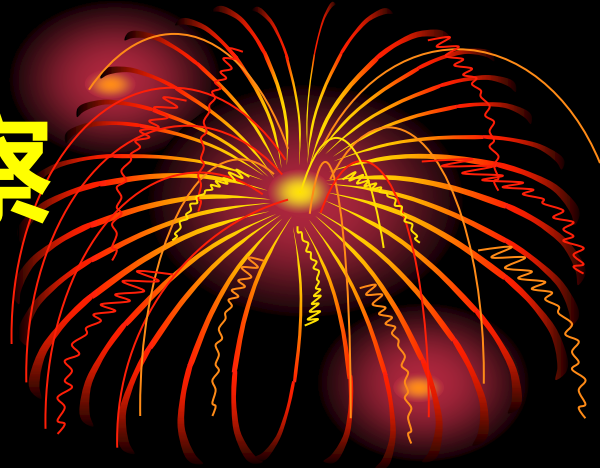
$$t_k = s_k / r_k, \quad k = L, R, B, T$$

实际就是判断
 $N_i \cdot (p_2 - p_1) > 0$ 还是
 < 0

上述终点组和起点组的特征分别表现为 $r_k > 0$ 和 $r_k < 0$, 其中 k 对应于相应的裁剪边界 ($k=L, R, B, T$, 分别对应于左、右、下、上边界) 沿 P_1P_2 方向前进。 $r_k > 0$ 时, 将进入 k 边界的外侧; $r_k < 0$ 时, 将进入 k 边界的内侧。若 $r_k = 0$ 时 $s_k < 0$, 线段完全不可见, 算法结束, 否则就继续处理其他边。

实际是在平行情况下,
 判断 $N_i \cdot (p_1 - A_i) < 0$ 则表明整条直线在外侧

第六章 三维空间的观察



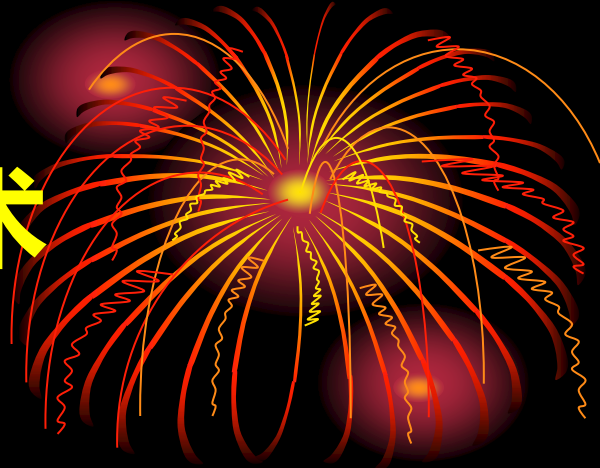
- **1、投影**

- 1.1 两种投影变换即透视和平行投影的概念及公式

- 1.2 任意坐标系到观察坐标系的变换;

- **2、视见体规范化、窗口到视口的变换、连续变换的处理**

第七章 人机交互绘图技术



- **1、基本的交互任务**
(输入、输出、定位、定值、选择、拾取字符串)
- **2、人机交互输入模式**
(请求模式、样本模式、事件模式、混合)
- **3、常见辅助交互技术**
(几何约束、拖拽、三视图、结构平面等)

第八章 隐藏线和隐藏面的消除



- **1、可见面判断的有效技术** - - 边界盒、后向面的概念、非垂直投影转换成垂直投影;
- **2、基于窗口的子分算法、基于多边形的子分算法;**
- **3、z缓冲器算法及其扫描线算法;**
 - 3.1 两种算法的基本思想**
 - 3.2 扫描线算法的数据结构、具体步骤**
- **4.优先级排序算法和光线投射算法;**

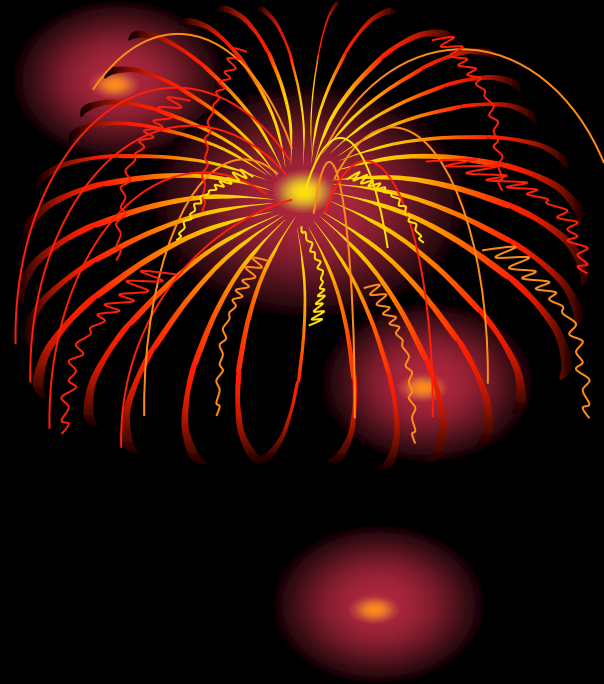
第九章 简单光照明模型



- **1、简单光照明模型**（光源、材质、简单光照明模型）
- **2、光滑明暗处理技术**

Gouraud明暗处理技术——对多边形顶点处光亮度做双线性插值

Phong明暗处理技术——对多边形顶点处法向量做双线性插值



第十章 Bézier曲线曲面

- 1、曲线曲面的基础知识
- 2、Bézier曲线

2.1 Bézier曲线的定义

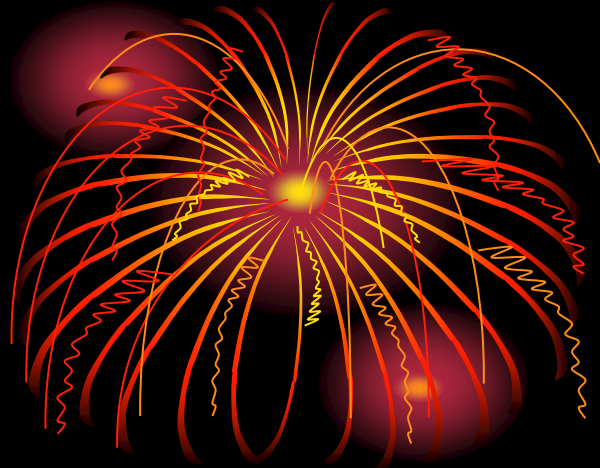
2.2 Bézier曲线的性质(端点、端点的切线和曲率、仿射不变性、凸包性、交互能力、变差缩减性和保凸性)

考试题型:

- 简答题 (**5**个)
- 综合题 (**4**个)
- 计算题 (**2**个)

分数计算:

平时+上机**30%**， 期末考试**70%**



预祝
考试
顺利



everyone

心想事成